

# تهیه و بررسی خواص فیزیکی فیلم کامپوزیتی زیست تخریب پذیر نشاسته - CMC حاوی نانوذرات مونت موریلوفنیت

هادی الماسی<sup>۱</sup>، بابک قنبرزاده<sup>۱\*</sup>، علی اکبر انتظامی<sup>۲</sup>

تبریز، دانشگاه تبریز، ۱- دانشکده کشاورزی، گروه علوم و صنایع غذایی، ۲- دانشکده شیمی، گروه شیمی پلیمر،

کد پستی ۵۱۶۶۶-۱۶۴۷۱

دریافت: ۸/۷/۱۱، پذیرش: ۸/۷/۱۱



مجله علوم و تکنولوژی پلیمر،

سال بیست و دوم، شماره ۳

صفحه ۱۳۸۸-۲۲۲

ISSN : 1016-3255

در این پژوهش، فیلم زیست نانو کامپوزیت جدید نشاسته اصلاح شده با سیتریک اسید - کربوکسی متیل سلوولوز (CMC)- مونت موریلوفنیت (MMT) به روش ریخته گری تولید شد و اثر مقدار MMT روی ساختار و خواص فیزیکی فیلم زیست کامپوزیت نشاسته-CMC، مطالعه شد. آزمون پراش پرتو X نشان داد که برقراری پیوندهای هیدروژنی قوی بین گروه های هیدروکسیل نشاسته، CMC و MMT باعث نفوذ زنجیرهای زیست پلیمر در فضای بین لایه های خاکریس می شود. با افزایش مقدار خاکریس از صفر به ۷ درصد، نفوذ پذیری نسبت به بخار از ۲/۴۴ به  $1.13 \times 10^{-7}$  g/mhPa کاهش یافت. فیلم حاوی ۷ درصد خاکریس، بیشترین استحکام کششی تاشکست (۲۷/۵۵ MPa) و کمترین کرنش تاشکست (۱۸/۲۵ درصد) را دارد. آزمون DSC نشان داد که با افزایش مقدار MMT از ۱ به ۷ درصد، دمای ذوب فیلم ها از ۲۲۱/۵ به ۲۴۳/۰ °C افزایش می یابد، اما محدوده انتقال شیشه ای فیلم ها به تدریج کاهش یافته و تا پذیده می شود.

## واژه های کلیدی

زیست نانو کامپوزیت، نشاسته،  
مونت موریلوفنیت،  
کربوکسی متیل سلوولوز،  
زیست تخریب پذیر

\*مسئول مکاتبات، پیام نگار:

ghanbarzadeh@tabrizu.ac.ir

## Preparation and Study of Physical Properties of Starch-CMC Biodegradable Composite Film Containing Montmorillonite Nanoparticles

H. Almasi<sup>1</sup>, B. Ghanbarzadeh<sup>\*1</sup>, and A.A. Entezami<sup>2</sup>

1. Department of Food Science and Technology, Faculty of Agriculture, 2. Department of Polymer Chemistry, Faculty of Chemistry; University of Tabriz, 51666-16471, Tabriz, Iran

Received 22 June 2009, accepted 2 September 2009

## Abstract

Novel citric acid modified starch-carboxy methyl cellulose (CMC)-montmorillonite (MMT) bio-nanocomposite films were prepared by casting method and the effect of MMT on the structural and physical properties of the starch-CMC biocomposites was studied. X-ray diffraction test showed that strong polar interactions between the hydroxyl groups present in the starch and CMC chains and in the silicate layers led to intercalation of biopolymer chains into MMT layers galleries. The water vapor permeability decreased from 2.44 to  $1.13 \times 10^{-7}$  g/mhPa as the MMT percentage increased from 0 to 7%. At the level of 7% MMT, the composite films showed the highest ultimate tensile strength (27.55 MPa) and lowest strain-to-break (18.25%). The DSC tests showed that, the temperature position of the melting peak increased from 221.5°C to 243.0°C as MMT content increased from 1 to 7 %, but the glass transition decreased and gradually disappeared.

## Key Words

bionanocomposite, starch, montmorillonite, carboxy methyl cellulose, biodegradable

(\*) To whom correspondence should be addressed.

E-mail: ghanbarzadeh@tabrizu.ac.ir

## مقدمه

ترکیبات پلیمری مختلف می‌توان به عنوان پرکننده زیست تخریب پذیر در تولید فیلم نشاسته استفاده کرد. مشتقات سلولوزی از جمله مواد هستند که به طور گسترده به عنوان پرکننده زیست تخریب پذیر استفاده می‌شوند. یکی از مشتقات مهم سلولوز، کربوکسی متیل سلولوز (CMC) است که محلول در آب بوده و به تنها یاب قابلیت تشکیل فیلم‌های انعطاف‌پذیر و مستحکم را دارد.

طبق یافته‌های Ma و همکاران<sup>[۶]</sup> افزودن مقادیر کمی CMC (حداکثر ۱۰ درصد) به ترکیب فیلم نشاسته می‌تواند بهبود قابل توجهی در خواص بازدارندگی و مکانیکی فیلم نشاسته ایجاد کند.

یکی از مهم‌ترین پیش‌رفت‌های در زمینه پلیمر، ورود فناوری نانو به این عرصه است. تولید نانوکامپوزیت‌های پلیمر - خاک رس، یکی از جدیدترین پیش‌رفت‌ها در فناوری پلیمر به شمار می‌آید. تولید پلیمرهای نانوکامپوزیتی روز به روز گسترش پیدا کرده و طی سال‌های اخیر استفاده از خاک رس در فیلم‌های زیست تخریب‌پذیر نیز مورد توجه قرار گرفته است. فیلم‌های حاصل از ترکیب نانومواد و زیست‌پلیمرها یا به اصطلاح نانوکامپوزیت‌های زیست‌پلیمری خواص کاربردی مطلوب تری نشان می‌دهند که مهم‌ترین آنها افزایش مقاومت مکانیکی و کاهش نفوذ‌پذیری نسبت به بخار آب است. افزایش بازدارندگی در برابر نفوذ گازها، افزایش کارایی فیلم در استفاده به عنوان بسته‌بندی فعال، افزایش مقاومت گرمایی ماده بسته‌بندی و ایجاد شفافیت و بهبود خواص ظاهری فیلم از دیگر مزایای نانوکامپوزیت‌های زیست‌پلیمری است.<sup>[۷]</sup>

مونت‌موریلوئیت رایج‌ترین سیلیکات‌لایه‌ای است که به دلیل قیمت مناسب، دسترسی آسان و سازگاری با محیط زیست، در تولید نانوکامپوزیت‌ها استفاده می‌شود. سدیم مونت‌موریلوئیت یا مونت‌موریلوئیت اصلاح نشده، سازگارترین نوع خاک رس با زیست‌پلیمرهای آب‌دوست نظری نشاسته به شمار می‌آید. افزودن مقادیر کمی از MMT می‌تواند بسیاری از خواص فیزیکی و شیمیایی فیلم نشاسته را بهبود دهد.<sup>[۸-۱۰]</sup>

گزارش‌های بسیار محدودی در باره تولید فیلم زیست کامپوزیت نشاسته - CMC وجود دارد. از طرف دیگر، هیچ مطالعه مشخص و معتبری در باره اثر خاک رس روی خواص فیزیکی فیلم زیست کامپوزیت نشاسته-CMC گزارش نشده است. هم‌چنین، منابع محدودی در باره نحوه پراکنش لایه‌های خاک رس در فیلم‌های

زیست‌پلیمری زیست تخریب‌پذیر وجود دارد.

در این پژوهش، برای اولین بار، فیلم زیست نانوکامپوزیت نشاسته اصلاح شده - CMC - خاک رس تولید شد و اثر وجود سیتریک اسید و

در جهان حدود ۱۲۵ میلیون تن پلاستیک تولید می‌شود که حدود ۳۰ میلیون تن آن در بخش بسته‌بندی مصرف می‌شود. آلدگی ناشی از مواد بسته‌بندی تولید شده از مشتقات نفتی و مشکلات ناشی از روش‌های مختلف آلدگی زدایی (مانند دفن کردن، سوزاندن و بازیافت آنها) توجه پژوهش‌گران را طی سال‌های اخیر به یافتن جای گزینه‌های مناسب برای این نوع مواد بسته‌بندی معطوف کرده است.<sup>[۱،۲]</sup> زیست‌پلیمرهای خوارکی با زیست تخریب‌پذیری زیاد که از منابع تجدیدپذیر کشاورزی حاصل می‌شوند، گزینه‌ای مناسب در این زمینه به شمار می‌روند.

برای تولید فیلم‌های زیست تخریب‌پذیر، از پلی‌ساکاریدها، پروتئین‌ها، چربی‌ها یا مخلوطی از آنها استفاده می‌شود. نشاسته از جمله پلی‌ساکاریدهایی است که به فراوانی و با هزینه کم قابل تولید است. نشاسته به علت داشتن ماهیت پلیمری، قابلیت فیلم سازی خوبی دارد، اما به دلیل برخی معایب نمی‌توان به تنها ای از آن فیلم مطلوبی تولید کرد. خاصیت آب‌دوستی شدید نشاسته و مقاومت ضعیف فیلم در برابر رطوبت و هم‌چنین خواص مکانیکی ضعیف آن در مقایسه با پلیمرهای سنتزی، مهم‌ترین معایب فیلم نشاسته است که باعث محدود شدن استفاده از این زیست‌پلیمر در زمینه‌های مختلف می‌شود.<sup>[۳]</sup> فیلم خالص نشاسته بسیار ترد و شکننده است. برای افزایش انعطاف‌پذیری آن از نرم‌کننده‌ها استفاده می‌شود. اما این ترکیبات، با کاهش برهم‌کنش‌های بین مولکولی، تحرک زنجیرهای زیست‌پلیمر را افزایش داده و باعث کاهش دمای انتقال شیشه‌ای ( $T_g$ ) و هم‌چنین افزایش نفوذ‌پذیری می‌شوند.<sup>[۴]</sup>

راه‌کارهای مختلفی برای غلبه بر این محدودیت‌ها پیشنهاد شده است. یکی از این روش‌ها، اصلاح شیمیایی نشاسته است. سیتریک اسید یکی از ترکیبات اتصال‌دهنده مناسب برای نشاسته به شمار می‌رود. زیرا، این ترکیب سمی نیست و در عین حال، روش استفاده از آن ساده است. هم‌چنین، قابلیت بهبود خواص کاربردی فیلم نشاسته را دارد. در اثر گرمادادن، گروه‌های کربوکسیل سیتریک اسید می‌تواند با گروه‌های هیدروکسیل در دو مولکول نشاسته مجاور، اتصالات عرضی برقرار کنند. بنابراین، برقراری پیوندهای کووالانسی (علاوه بر پیوندهای هیدروژنی) در بین زنجیرهای درشت مولکول نشاسته می‌تواند به بهبود خواص مکانیکی و هم‌چنین کاهش حساسیت نسبت به آب فیلم نشاسته کمک کند.<sup>[۵]</sup>

روشی دیگر برای بهبود خواص فیلم نشاسته، استفاده از سایر زیست‌پلیمرهایا یا الیاف زیست تخریب‌پذیر در ترکیب با نشاسته است که در این حالت، به آنها فیلم‌های زیست کامپوزیت اطلاق می‌شود. از

اندازه گیری شده به وسیله میکروسنچ Alton با دقت  $0.01\text{ mm}$  تولید شود. در ادامه، این سینی ها در  $60^\circ\text{C}$  به مدت  $18\text{ h}$  خشک شدند. پس از خشک شدن، فیلم پیوسته و شفاف نشاسته-CMC- خاک رس، از سطح سینی ریخته گری جدا شد.

### آزمون پراش پرتو X

به منظور مطالعه ریزساختار فیلم های زیست نانو کامپوزیت و برای تعیین نحوه پراکنش لایه های خاک رس در ساختار زیست پلیمر، از آزمون پراش پرتو X استفاده شد.

برای انجام آزمون، مولد پرتو X در  $40\text{ kV}$  و  $40\text{ mA}$  تنظیم شد و نمونه ها در معرض پرتو X با طول موج  $0.1539\text{ nm}$  قرار گرفتند. پرتوهای بازتابشی از نمونه، در دمای محیط و در محدوده زاویه  $2\theta=10^\circ$ - $20^\circ$  جمع آوری و نمودار مربوط به شدت بازتابش آنها رسم شد. سرعت انجام آزمون  $1^\circ/\text{min}$  و اندازه گام ها  $0.05^\circ$  بود.

### اندازه گیری سرعت انتقال بخار آب

سرعت انتقال بخار آب مطابق روش ASTM E96 اندازه گیری شد [۱۱]. برای این کار، ظروف شیشه ای ویژه ای با قطر  $2\text{ cm}$  و ارتفاع  $4/5\text{ cm}$  کار گرفته شد. روی درپوش این ظرف ها منفذی به قطر  $8\text{ mm}$  قرار دارد که قطعه ای از فیلم مورد آزمون در این بخش قرار می گیرد.  $3\text{ g}$  کلسیم سولفات که  $\text{pH}$  معادل صفر ایجاد می کند در داخل ظرف ها قرار داده شد. ابتدا فیلم ها در رطوبت نسبی  $55\%$  درصد که با استفاده از کلسیم نیتریت ایجاد شده بود، به مدت  $24\text{ h}$  شرایط دهی شدند و سپس قطعه ای از فیلم بریده شد و روی درپوش ظرف شیشه ای قرار گرفت و روی آن بسته شد.

ظروف شیشه ای همراه با محتویات آنها توزین شدند و درون خشکانه حاوی محلول سیرشده پتاسیم سولفات قرار گرفتند. پتاسیم سولفات سیرشده در دمای  $25^\circ\text{C}$ ، رطوبت نسبی  $97\%$  درصد ایجاد می کند. خشکانه در درون آنکوباتور  $25^\circ\text{C} \pm 1^\circ\text{C}$  قرار گرفت و به مدت چهار روز هر چند ساعت یک مرتبه ظروف توزین شدند.

مقدار بخار آب انتقال یافته از فیلم ها، از روی افزایش وزن ظرف ها معین شد. منحنی افزایش وزن ظرف ها با گذشت زمان رسم و پس از محاسبه برگشت خطی، شبیخ حاصل محاسبه شد.

از تقسیم کردن شبیخ خط مربوط به هر ظرف، به سطح کل فیلم که در معرض انتقال بخار آب قرار داشت، سرعت انتقال بخار آب (water vapor transmission rate, WVTR) استفاده از معادله (۱)، نفوذپذیری نسبت به بخار آب (water vapor permeability, WVP)

CMC در نحوه پراکنش مولکول های خاک رس با استفاده از آزمون XRD مطالعه شد. هم چنین، اثر مقدار خاک رس روی خواص بازدارندگی، مکانیکی و گرمایی این نوع فیلم ها، بررسی شده است.

### تجربی

#### مواد

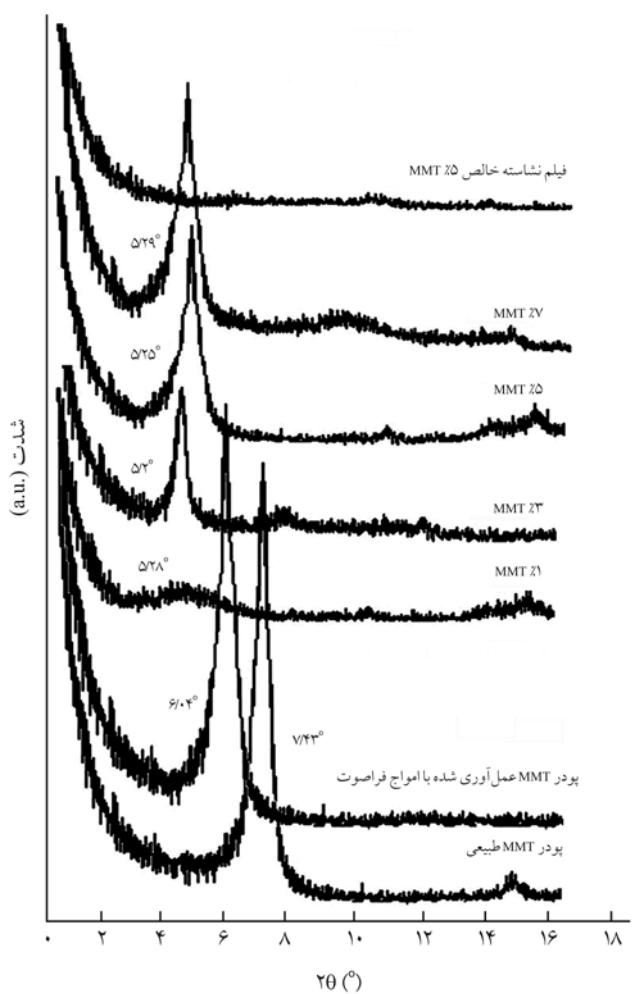
نشاسته ذرت (دارای  $12\text{ درصد رطوبت}$ ) از شرکت گلوکوزان قزوین تهیه شد. سدیم مونت موریلوفیت یا مونت موریلوفیت اصلاح نشده، از شرکت Nanocore آلمان خریداری شد. CMC با وزن مولکولی متوسط Da ۴۰۰۰ از شرکت کاراگام پارسیان و گلیسروول، کلسیم سولفات، پتاسیم سولفات و کلسیم نیتریت محصول شرکت Merck بودند. هم چنین، سیتریک اسید خوارکی از فروشگاه محلی خریداری شد.

#### دستگاه ها

برای انجام آزمون پراش پرتو X، پراش سنج Bruker مدل Advance D8 ساخت شرکت Karlsruhe آلمان، برای بررسی خواص مکانیکی دستگاه آزمون مکانیکی مدل Roell FR010 ساخت شرکت Zwick آلمان و برای بررسی خواص گرمایی گرما سنج پویشی تفاضلی مدل Netzsch 200 F3 ساخت آلمان به کار گرفته شد.

#### روش ها

تهیه فیلم زیست نانو کامپوزیت نشاسته-CMC- خاک رس  $g/5$  نشاسته و  $0.5\text{ g}$  سیتریک اسید ( $10\text{ درصد وزن نشاسته}$ ) در آب پراکنده شد و در  $90^\circ\text{C}$  به مدت  $30\text{ min}$  با هم زدن مداوم گرم شد.  $10\text{ درصد }0.5\text{ g}$  CMC در  $40\text{ mL}$  آب در ظرفی جداگانه حل شد و در  $75^\circ\text{C}$  به مدت  $10\text{ min}$  گرما داده شد. مقادیر مختلف  $1\text{, }3\text{, }5\text{, }7\text{ g}$  درصد مونت موریلوفیت ( $0.05\text{, }0.15\text{, }0.25\text{ g}$ ) در ظرفی حاوی  $20\text{ mL}$  آب پراکنده شد و به مدت  $10\text{ min}$  با امواج فرآصوت عمل آوری شد. محلول نشاسته ژلاتینی شده و پراکنش مونت موریلوفیت با یک دیگر مخلوط و در  $75^\circ\text{C}$  به مدت  $10\text{ min}$  همراه با هم زدن نگه داری شد. سپس، محلول نشاسته ژلاتینی شده و پراکنش CMC به آن اضافه شد و هم زدن به مدت  $30\text{ min}$  در دمای محیط ادامه یافت. در نهایت، پس از خنک شدن و افزودن  $2\text{ mL}$  گلیسروول ( $40\text{ درصد وزن نشاسته}$ ) به عنوان نرم کننده، حدود  $50\text{ mL}$  از محلول، داخل سینی نجسب تقلونی ریخته شد تا پس از خشک شدن، فیلمی با ضخامت حدود  $0.08\pm 0.01\text{ mm}$



شکل ۱- منحنی های الگوی پراش پرتو X نمونه های پودر خاک رس و فیلم های زیست نانو کامپوزیت.

را نشان می دهد. هنگامی که خاک رس با امواج فراصوت عمل آوری می شود، پیک پراش (۰۰۱) از  $7/۴۳^{\circ}$  به  $6/۰۴^{\circ}$  منتقل می شود. طبق قانون برآگ ( $2dsin\theta = \lambda$ ) فاصله بین لایه ها در خاک رس طبیعی و خاک رس عمل آوری شده با امواج فراصوت، به ترتیب  $7/۸$  و  $7/۶$  nm است. این امر نشان می دهد، عمل آوری با امواج فراصوت، در افزایش فاصله بین لایه های خاک رس مفید است و بدین ترتیب می تواند به نفوذ سریع تر و راحت تر زنجیرهای نشاسته در فضای بین این لایه ها کمک کند. در فیلم های زیست نانو کامپوزیت، پیک پراش MMT در زوایای کمتری ظاهر شده است و چنان که مشاهده می شود، در همه غلاظت های MMT، این کاهش تقریباً به یک اندازه بوده است. در همه فیلم های زیست نانو کامپوزیت، در حدود  $5/۲۵$  پیکی ظاهر می شود که برابر با فاصله  $7/۶$  nm است. این نتایج نشان می دهد که زنجیرهای هر دو زیست پلیمر نشاسته و CMC می توانند وارد فضای بین لایه های

$$WVP = \frac{WVTR}{P(R_1 - R_2)} \times X \quad (1)$$

در این معادله  $X$  ضخامت فیلم (m)،  $P$  فشار بخار آب خالص در  $25^{\circ}\text{C}$  (Pa)،  $R_1$  رطوبت نسبی در خشکانه (درصد) و  $R_2$  درصد رطوبت نسبی در داخل ظرف شیشه ای است. این آزمون برای هر یک از نمونه ها سه مرتبه تکرار شد.

### اندازه گیری خواص مکانیکی

استحکام کششی نهایی و کرنش تاشکست فیلم ها با استفاده از دستگاه آزمون مکانیکی و طبق استاندارد ASTM D882-91 [۱۲] اندازه گیری شد. ابتدا نمونه ها به مدت ۲۴ h در رطوبت نسبی ۵۵ درصد شرایط دهی شدند. سپس، سه نمونه از هر یک از فیلم ها به شکل دمبل با ابعاد  $8 \times 0/5 \text{ cm}^2$  بریده شد و در بین دو فک دستگاه قرار گرفت. فاصله اولیه بین دو فک و سرعت حرکت فک بالایی به ترتیب  $5 \text{ mm/min}$  و  $50 \text{ mm}$  تعیین و داده ها به کمک رایانه ثبت شد.

### اندازه گیری خواص گرمایی

خواص گرمایی نمونه ها به وسیله گرماسنج پویشی تفاضلی اندازه گیری شد. کالیبره کردن دستگاه با ایندیم و نقره انجام شد. از ظرف آلومینیمی خالی به عنوان مرجع و جو نیتروژن استفاده شد. نمونه با وزن تقریبی  $0/۳ \text{ g}$  با سرعت  $10^{\circ}\text{C/min}$  در گستره دمایی  $20^{\circ}\text{C}$  تا  $30^{\circ}\text{C}$  پویش شدند. از روی دمانگاشت به دست آمده، دماهای ذوب و انتقال شیشه ای معین شد. دمای انتقال شیشه ای به عنوان نقطه میانه بین شروع و پایان تغییرات منحنی در جریان گرمایی در نظر گرفته شد.

### تحلیل آماری

تمام آزمون ها سه مرتبه تکرار و در قالب طرح کاملاً تصادفی انجام شدند. تحلیل و ارزیابی (ANOVA) با استفاده از مدل خطی G.L.M و نرم افزار آماری SPSS 11.5 در سطح احتمال ۵ درصد ( $p < 0/05$ ) و آزمون چنددامنه ای دانکن برای تأیید وجود اختلاف بین میانگین ها انجام شد.

### نتایج و بحث

#### آزمون پراش پرتو X

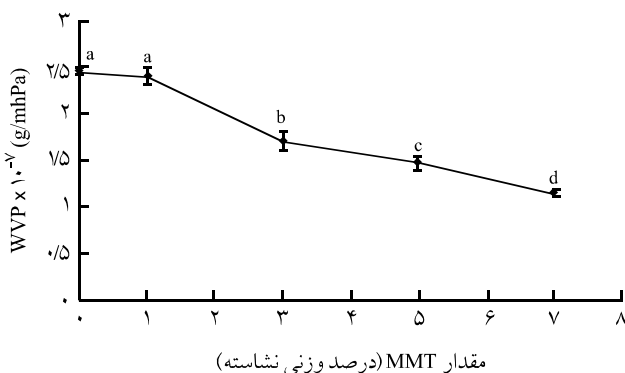
به منظور مطالعه نحوه پراکنش خاک رس در ساختار فیلم نشاسته، از آزمون XRD استفاده شد. شکل ۱ منحنی های XRD نمونه های مختلف

را داشته باشند تا از تبادل رطوبت بین محیط و ماده غذایی ممانعت شود. همان طور که در شکل ۲ مشاهده می‌شود، با افزایش مقدار خاک رس، نفوذپذیری فیلم‌های زیست نانو کامپوزیت کاهش می‌یابد. نفوذپذیری برای نمونه شاهد (فیلم بدون  $2.44 \times 10^{-7}$  g/mhPa MMT)،  $2.44 \times 10^{-7}$  g/mhPa و  $2.39 \times 10^{-7}$  g/mhPa MMT به ترتیب به  $1.69 \times 10^{-7}$  g/mhPa و  $1.43 \times 10^{-7}$  g/mhPa می‌باشد. در غلاظت ۷ درصد MMT، فیلم‌های زیست نانو کامپوزیت، کمترین نفوذپذیری را نشان دادند ( $1.23 \times 10^{-7}$  g/mhPa). کاهش نفوذپذیری با افزایش مقدار MMT، با نتایج مطالعات سایر پژوهش‌گران، درباره اثر خاک رس روی نفوذپذیری فیلم نانو کامپوزیت نشاسته مطابقت دارد [۱۴، ۲۱].

نتایج مشابهی درباره اثر خاک رس روی نفوذپذیری فیلم پلی لاکتیک اسید [۲۲]، پلی استیرن [۲۳]، فیلم ایزوله پروتئین آب پنیر [۲۴] و فیلم‌های نانو کامپوزیت حاصل از پکتین [۲۵] و کیتوسان [۲۶] گزارش شده است. اثر خاک رس در کاهش نفوذپذیری فیلم نشاسته را می‌توان به این ترتیب توجیه کرد که وجود لایه‌های خاک رس در ساختار زیست پلیمر، باعث ایجاد مسیرهای زیگزاگ و پرپیچ و خمی برای نفوذ مولکول‌های بخار آب می‌شود. در واقع با وجود خاک رس، مولکول‌های بخار آب برای عبور از فیلم، باید مسیر طولانی تر و پیچیده‌تری را طی کنند و همین مسئله باعث کاهش سرعت انتقال و نفوذ مولکول‌های بخار آب می‌شود [۲۷].

### خواص مکانیکی

شکل ۳ اثر مقدار MMT را روی استحکام کششی نهایی و کرنش تا شکست فیلم‌های زیست نانو کامپوزیت نشان می‌دهد. با افزودن ۳ و ۷ درصد MMT، به ترتیب دو و سه برابر افزایش در مقدار استحکام کششی نهایی مشاهده شد. با افزایش غلاظت MMT از صفر به  $7 \times 10^{-7}$  g/mhPa



شکل ۲ - اثر مقدار خاک رس روی نفوذپذیری بخار آب در فیلم زیست نانو کامپوزیت نشاسته - کربوکسی متیل سلولوز - خاک رس (حروف نامشابه نشان دهنده وجود اختلاف در سطح ۵ درصد است).

خاک رس شوند، اما نحوه پراکنش، به شکل بین لایه‌ای شدن است و اختلاط ورقه‌ای شده حاصل نمی‌شود.

نحوه اختلاط خاک رس و پلیمر، به عوامل زیادی بستگی دارد. مهم‌ترین عوامل وزن مولکولی پلیمر و برهم کنش‌های بین خاک رس و زنجیرهای پلیمر [۱۳] است.

برهم کنش‌های قوی بین گروه‌های هیدروکسیل نشاسته، گروه‌های هیدروکسیل و کربوکسیل CMC و گروه‌های هیدروکسیل خاک رس، به نفوذ و پراکنش زنجیرهای این دو زیست پلیمر در بین لایه‌های خاک رس کمک می‌کند [۱۴]. اما چنین به نظر می‌رسد، وزن مولکولی زیاد زیست پلیمر، مانع از پراکنش کامل و ورقه‌ای شدن خاک رس شده است. زنجیرهای واحد نشاسته، حالت خطی دارند و اندازه مونومرهای آن حدود  $0.55 \text{ nm}^2$  است [۱۵]. این اندازه، تقریباً برابر با اختلاف فاصله بین لایه‌ها در خاک رس طبیعی و فیلم‌های زیست نانو کامپوزیت است. در نتیجه، این احتمال وجود دارد، تنها بخش‌هایی از زیست پلیمر که از زنجیری واحد تشکیل شده‌اند، به فضای بین لایه‌های نفوذ کنند. هرچند که برای ساختار فیلم‌های نانو کامپوزیت حاصل از نشاسته خالص و خاک رس، پراکنش بین لایه‌ای نیز گزارش شده است [۹، ۱۶]، اما، برخی از پژوهش‌گران اشاره کرده‌اند، در حالت وجود سازگاری بین نشاسته و خاک رس انتخاب شده، پراکنش ورقه‌ای امکان‌پذیر است [۰۰-۱۷]. بنابراین، دلیل ایجاد حالت بین لایه‌ای در این پژوهش را می‌توان به وجود سیتریک اسید و CMC نسبت داد.

ایجاد اتصالات عرضی به وسیله سیتریک اسید و تشکیل پیوندهای هیدروژنی قوی تر و بیشتر در بین زنجیرهای نشاسته در اثر وجود سیتریک اسید و CMC، پیوستگی و یکپارچگی بین زنجیرهای نشاسته را افزایش می‌دهد و با کاهش آزادی و تحرك این زنجیرها، مانع از نفوذ کامل آنها در بین لایه‌های خاک رس و در نتیجه پراکنش ورقه‌ای این لایه‌ها می‌شود. برای تأیید این فرضیه، فیلم نانو کامپوزیتی مرکب از نشاسته و خاک رس تولید شد که در آن از سیتریک اسید و CMC استفاده نشده بود.

همان طور که در شکل ۱ مشخص است (نشاسته خالص، ۵ درصد MMT)، در الگوی پراش این فیلم، هیچ نوع پیکی مشاهده نمی‌شود. عدم ظهور پیک، نشان دهنده این نکته است که اختلاط نشاسته و خاک رس در این نوع فیلم، از نوع ورقه‌ای بوده است. سیتریک اسید با ایجاد اتصالات عرضی و CMC با برقراری پیوندهای هیدروژنی قوی، از نفوذ آزادانه و پراکنش کامل و یکنواخت زنجیرهای نشاسته در بین لایه‌های خاک رس و ایجاد حالت پراکنش مطلوب ورقه‌ای ممانعت می‌کنند.

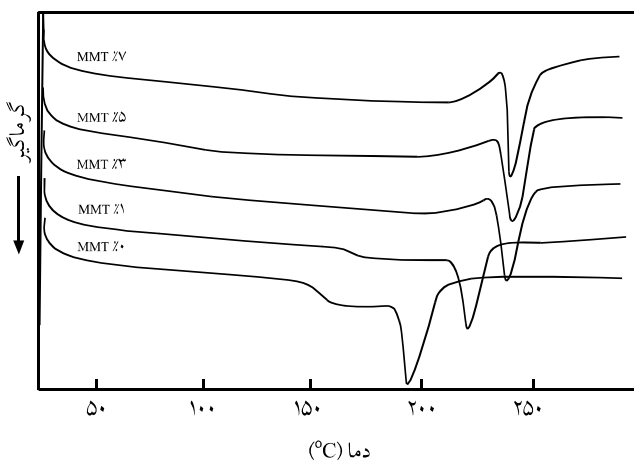
**نفوذپذیری نسبت به بخار آب**  
مواد بسته بندی باید تا حد امکان، حداقل نفوذپذیری نسبت به بخار آب

چنین پیوندهای هیدروژنی قوی در سطح وسیع، باعث افزایش مقاومت مکانیکی و کاهش انعطاف پذیری فیلم های زیست نانو کامپوزیت می شود. به عبارت دیگر، لایه های خاک رس به عنوان ماده استحکام دهنده مکانیکی عمل کرده و با افزایش اتصالات و در نتیجه افزایش پیوستگی بین زنجیرهای زیست پلیمر، استحکام کششی را افزایش و کرنش یا انعطاف پذیری را کاهش می دهد.

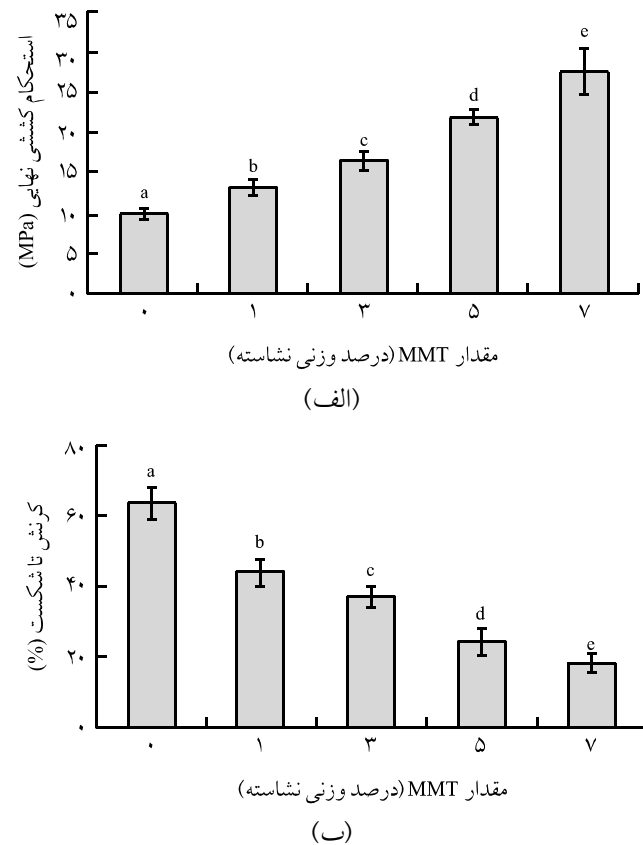
### خواص گرمایی

معمولًا در دمانگاشت DSC پلیمرهای نیمه بلوری نظیر نشاسته، دو نوع انتقال فاز مشاهده می شود: انتقال فاز مرتبه اول یا ظهور پیک گرمایگر که مربوط به ذوب نواحی بلوری است و انتقال فاز مرتبه دوم یا انتقال شیشه ای که مربوط به انتقال شیشه ای نواحی بی شکل است.

شکل ۴ منحنی های DSC فیلم های زیست نانو کامپوزیت را نشان می دهد. فیلم نشاسته دارای ۱۰ درصد CMC و ۱۰ درصد سیتریک اسید، یک پیک ذوب در دمای  $191^{\circ}\text{C}$  نشان می دهد که مربوط به ذوب نواحی بلوری تشکیل شده طی پدیده برگشت است. اما همان طور که در شکل ۴ نشان داده شده است، با افزودن MMT، دمای ذوب فیلم های زیست نانو کامپوزیت افزایش می یابد. با افزودن مقدار خاک رس از ۱ به ۷ درصد، پیک ذوب فیلم ها از  $221^{\circ}\text{C}$  به  $243^{\circ}\text{C}$  منتقل می شود. افزایش دمای ذوب فیلم ها نشان می دهد که افزودن خاک رس به تشکیل نواحی بلوری بیشتر منجر شده و تحرک زنجیرهای آمیلوپکتین را کاهش می دهد. دمای انتقال شیشه ای ( $T_g$ ) فیلم زیست کامپوزیت نشاسته - CMC، در حدود  $162^{\circ}\text{C}$  بود. با افزودن ۱ درصد MMT،  $T_g$  به  $169^{\circ}\text{C}$  افزایش یافت. اما، وسعت محدوده انتقال شیشه ای کمتر از فیلم فاقد MMT بود.



شکل ۴ - منحنی های DSC فیلم های زیست نانو کامپوزیت حاوی درصد های مختلف خاک رس.



شکل ۳ - اثر مقدار خاک رس بر استحکام کششی نهایی و کرنش تا شکست فیلم زیست نانو کامپوزیت نشاسته - کربوکسی متیل سلولوز - خاک رس (حروف نامشابه نشان دهنده وجود اختلاف در سطح ۵ درصد است).

استحکام کششی نهایی به طور معنی داری از  $9783 \text{ MPa}$  به  $2755 \text{ MPa}$  افزایش یافت و کرنش تا شکست از  $6352$  به  $1725$  درصد رسید. پژوهش گران دیگری نیز نتایج مشابهی را در باره افزایش استحکام کششی فیلم نانو کامپوزیت نشاسته در اثر افزایش مقادیر خاک رس گزارش کرده اند [۲۸، ۲۰، ۱۸، ۹]. هم چنین، در باره اثر خاک رس روی خواص مکانیکی فیلم های زیست تحریب پذیر پکتین [۲۵، ۲۶] و آگارز [۲۹] نیز نتایج مشابهی گزارش شده است. مهم ترین دلیل برای تقویت مقاومت مکانیکی در اثر افزودن خاک رس، برقراری پیوندهای بین سطحی قوی تر و بیشتر بین زنجیرهای نشاسته، CMC و لایه های پراکنده خاک رس است.

در طول فرایند تولید و خشک کردن فیلم ها، پیوندهای هیدروژنی اولیه بین مولکول های نشاسته با پیوندهای هیدروژنی تشکیل شده بین گروه های هیدروکسیل نشاسته، گروه های هیدروکسیل و کربوکسیل CMC و گروه های هیدروکسیل خاک رس جای گزین شده و تشکیل

## نتیجه گیری

فیلم زیست نانو کامپوزیت جدید از ترکیب نشاسته اصلاح شده-CMC- خاک رس تولید شد و اثر مقدار خاک رس بر ویژگی های ساختاری و خواص فیزیکی این فیلم، مطالعه شد. آزمون XRD نشان داد که پراکنش خاک رس در فیلم های زیست نانو کامپوزیت، به شکل بین لایه ای است. در حالی که در فیلم نانو کامپوزیت نشاسته (در حالت عدم استفاده از سیتریک اسید و CMC)، لایه های خاک رس به شکل کامل و به حالت ورقه ای در زمینه زیست پلیمر نشاسته پراکنده می شوند. افزایش مقدار خاک رس، نفوذ پذیری فیلم نشاسته-CMC نسبت به بخار آب را نیز کاهش داد. نفوذ پذیری نسبت به بخار برای نمونه شاهد (فیلم بدون MMT ۲/۴۴×۱۰<sup>-۷</sup> g/mhPa) بود که در فیلم حاوی ۷ درصد MMT، به ۱/۱۳×۱۰<sup>-۷</sup> g/mhPa کاهش یافت. هم چنین، غلظت خاک رس اثر معنی داری روی خواص مکانیکی فیلم نشاسته داشت. با افزودن ۳ و ۷ درصد MMT، به ترتیب دو و سه برابر افزایش در مقدار استحکام کششی نهایی مشاهده شد و انعطاف پذیری فیلم های نیز به طور معنی داری کاهش یافت. با افزایش مقدار خاک رس، دمای ذوب فیلم های افزایش یافت و محدوده انتقال شیشه ای، کمتر شد. این نتایج نشان داد که برهم کنش لایه های خاک رس با زنجیرهای نشاسته، در نواحی بی شکل رخ داده و به گسترش نواحی بلوری منجر می شود.

## مراجع

1. Larotonda F.D.S., Matsui K.N., Sobral P.J.A., and Laurindo J.B., Hygroscopicity and Water Vapor Permeability of Kraft Paper Impregnated with Starch Acetate, *J. Food Eng.*, **71**, 394-402, 2005.
2. Mariniello L., Giosafatto C.V.L., Moschetti G., Aponte M., Masi P., Sorrentino A., and Porta R., Fennel Waste-based Films Suitable for Protecting Cultivations, *Biomacromolecules*, **8**, 3008-3014, 2007.
3. Mali S., Sakanaka L.S., Yamashita F., and Grossmann M.V.E., Water Sorption and Mechanical Properties of Cassava Starch Films and their Relation to Plasticizing Effect, *Carbohydr. Polym.*, **60**, 283-289, 2005.
4. Averous L. and Boquillon N., Biocomposites Based on Plasticized Starch: Thermal and Mechanical Behaviours, *Carbohydr. Polym.*, **56**, 111-122, 2004.
5. Shi R., Zhang Z.Z., Liu Q.Y., Han Y.M., Zhang L.Q., and Chen D.F., Characterization of Citric Acid/Glycerol Co-plasticized Thermoplastic Starch Prepared by Melt Blending, *Carbohydr. Polym.*, **69**, 748-755, 2007.
6. Ma X., Chang P.R., and Yu J., Properties of Biodegradable Thermoplastic Pea Starch/Carboxymethyl Cellulose and Pea Starch/Microcrystalline Cellulose Composites, *Carbohydr. Polym.*, **72**, 369-375, 2008.
7. Alexandre M. and Dubois P., Polymer-Layered Silicate Nanocomposites Preparation, Properties and Uses of a New Class of Materials, *Mater. Sci. Eng.*, **28**, 1-11, 2000.
8. Ray S.S. and Okamoto M., Polymer/Layered Silicate Nanocomposites: A Review from Preparation to Processing, *Prog. Polym. Sci.*, **28**, 1539-1544, 2003.
9. Huang M., Yu J., Ma X. and Peng J., High Performance Biodegradable Thermoplastic Starch-EMMT Nanoplastics, *Polymer*, **46**, 3157-3164, 2005.

افزایش  $T_g$  نشان می دهد، خاک رس در نواحی بی شکل نیز ساختار فشرده و منسجمی را تشکیل می دهد. افزایش تعداد و شدت پیوندها، باعث کاهش تحرک زنجیرها شده و  $T_g$  افزایش می یابد. با افزایش مقدار MMT، پذیره انتقال شیشه ای به تدریج ناپدید شده و در دمانگاشت فیلم های حاوی ۵ و ۷ درصد MMT، پذیره انتقال شیشه ای مشاهده نمی شود. هرچه مقدار نظم یافته کی در بین زنجیرهای پلیمر بیشتر باشد، مقدار نواحی بلوری در آن پلیمر زیادتر است. لایه های خاک رس با قرار گرفتن در بین رشته های نشاسته و تشکیل پیوند با آنها، به افزایش انسجام ساختاری در بین زنجیرها کمک می کنند. به عبارت دیگر، در اثر افزودن خاک رس، نواحی بی شکل به نواحی بلوری تبدیل شده و در نتیجه به تدریج از محدوده ناحیه انتقال شیشه ای کم شده و دمای انتقال شیشه ای افزایش می یابد [۳۰]. بنابراین، مقایسه تغییرات دمای ذوب و دمای انتقال شیشه ای نشان می دهد، نفوذ لایه های MMT در فضای بین زنجیرهای نشاسته ای، در نواحی بی شکل اتفاق افتاده است. قرار گرفتن لایه های خاک رس در بین زنجیرهای نشاسته و برقراری پیوند با آنها باعث افزایش نظم و انسجام ساختاری در نواحی بی شکل شده و باعث تبدیل آنها به بخش های بلوری می شود و درجه بلورینگی و در نتیجه دماهای ذوب و انتقال شیشه ای فیلم های افزایش یافته و محدوده انتقال شیشه ای آنها کاهش می یابد.

10. Pukanszky B., Muller P., and Bagdi K., Thermoplastic Starch/Layered Silicate Composites: Structure, Interaction, Properties, *Compos. Int.*, **13**, 1-17, 2006.
11. Standard Test Methods for Water Vapor Transmission of Material, *Annual Book of ASTM Standard*, 05.11, E96-95, 1995.
12. Standard Test Methods for Tensile Properties of Thin Plastic Sheeting, *Annual Book of ASTM Standard*, 02. 08, D882-91, 1996.
13. Vaia R.A. and Giannelis E.P., Liquid Crystal Polymer Nanocomposites: Direct Intercalation of Thermotropic Liquid Crystalline Polymers into Layered Silicates, *Polymer*, **42**, 1281-1285, 2001.
14. Park H., Li X., Jin C., Park C., Cho W., and Ha C., Preparation and Properties of Biodegradable Thermoplastic Starch/Clay Hybrids, *Macromol. Mater. Eng.*, **287**, 553-558, 2002.
15. Buleon A., Colonna P., Planchot V., and Ball S., Starch Granules: Structure and Biosynthesis, Mini Review, *Int. J. Biol. Macromol.*, **23**, 85-112, 1998.
16. Cyras V.P., Manfredi L.B., Ton-That M., and Vazquez A., Physical and Mechanical Properties of Thermoplastic Starch/Montmorillonite Nanocomposite Films, *Carbohyd. Polym.*, **73**, 55-63, 2008.
17. Zhang Q., Yu Z., Xie X., Naito K., and Kagawa Y., Preparation and Crystalline Morphology of Biodegradable Starch/Clay Nanocomposites, *Polymer*, **48**, 7193-7200, 2007.
18. Chen B. and Evans J.R.G., Thermoplastic Starch-Clay Nanocomposites and their Characteristics, *Carbohyd. Polym.*, **61**, 455-463, 2005.
19. Chiou B., Wood D., Yee E., Imam S.H., Glenn G.M., and Orts W.J., Extruded Starch-Nanoclay Nanocomposites: Effects of Glycerol and Nanoclay Concentration, *Polym. Eng. Sci.*, **1002**, 1898-1904, 2007.
20. Huang M., Yu J., and Ma X., High Mechanical Performance MMT-Urea and Formamide-Plasticized Thermoplastic Corn Starch Biodegradable Nanocomposites, *Carbohyd. Polym.*, **63**, 393-399, 2006.
21. Wilhelm H.M., Sierakowski M.R., Souza G.P., and Wypych F., Starch Films Reinforced with Mineral Clay, *Carbohyd. Polym.*, **52**, 101-110, 2003.
22. Rhim J.W., Hong S., and Ha C., Tensile, Water Vapor Barrier and Antimicrobial Properties of PLA/Nanoclay Composite Films, *LWT - Food Sci. Technol.*, **42**, 612-617, 2009.
23. Giannakas A., Spanos C.G., Kourkoumelis N., Vaimakis T. and Ladavos A., Preparation, Characterization and Water Barrier Properties of PS/Organo-montmorillonite Nanocomposites, *Eur. Polym. J.*, **44**, 3915-3921, 2008.
24. Sothornvit R., Rhim J.W., and Hong S.I., Effect of Nano-Clay Type on the Physical and Antimicrobial Properties of Whey Protein Isolate/Clay Composite Films, *J. Food Eng.*, **91**, 468-473, 2009.
25. Mangiacapra P., Gorrasi G., Sorrentino A., and Vittoria V., Biodegradable Nanocomposites Obtained by Ball Milling of Pectin and Montmorillonites, *Carbohyd. Polym.*, **64**, 516-523, 2006.
26. Casariego A., Souza B.W.S., Cerqueira M.A., Teixeira J.A., Cruz L., Diaz R., and Vicente A.A., Chitosan/Clay Films' Properties as Affected by Biopolymer and Clay Micro/Nanoparticles' Concentrations, *Food Hydrocoll.*, **23**, 1895-1902, 2009.
27. Yano K., Usuki A., and Okada A.J., Synthesis and Properties of Polyimideclay Hybrid Films, *Polym. Sci.*, **35**, 89-94, 1997.
28. Huang M., Yu J.G., and Ma X.F., Studies on the Properties of Montmorillonite-Reinforced Thermoplastic Starch Composites, *Polymer*, **45**, 7017-7023, 2004.
29. Li X., Gao H., Scrivens W., Fei D., Thakur V., Sutton1 M., Reynolds A., and Myrick M., Structural and Mechanical Characterization of Nanoclay-Reinforced Agarose Nanocomposites, *Nanotechnology*, **16**, 2020-2029, 2005.
30. Chaudhary D.S., Understanding Amylose Crystallinity in Starch-Clay Nanocomposites, *J. Polym. Sci., Part B: Polym. Phys.*, **46**, 979-987, 2008.